

POLSKA AKADEMIA NAUK  
INSTYTUT MASZYN PRZEPLYWOWYCH

TRANSACTIONS  
OF THE INSTITUTE OF  
FLUID-FLOW MACHINERY

PRACE  
INSTYTUTU MASZYN PRZEPLYWOWYCH

98



GDAŃSK 1995

PRACE INSTYTUTU MASZYN PRZEPŁYWOWYCH

---

poświęcone są publikacjom naukowym z zakresu teorii i badań doświadczalnych w dziedzinie mechaniki i termodynamiki przepływów, ze szczególnym uwzględnieniem problematyki maszyn przepływowych

\*

THE TRANSACTIONS OF THE INSTITUTE OF FLUID-FLOW MACHINERY

---

exist for the publication of theoretical and experimental investigations of all aspects of the mechanics and thermodynamics of fluid-flow with special reference to fluid-flow machines

**RADA REDAKCYJNA – EDITORIAL BOARD**

TADEUSZ GERLACH \* HENRYK JARZYNA \* JERZY KRZYŻANOWSKI  
WOJCIECH PIETRASZKIEWICZ \* WŁODZIMIERZ J. PROSNAK  
JÓZEF ŚMIGIELSKI \* ZENON ZAKRZEWSKI

**KOMITET REDAKCYJNY – EDITORIAL COMMITTEE**

EUSTACHY S. BURKA (REDAKTOR NACZELNY – EDITOR-IN-CHIEF)  
JAROSŁAW MIKIELEWICZ  
EDWARD ŚLIWICKI (REDAKTOR – EXECUTIVE EDITOR) \* ANDRZEJ ŻABICKI

**REDAKCJA – EDITORIAL OFFICE**

Wydawnictwo Instytutu Maszyn Przepływowych  
Polskiej Akademii Nauk  
ul. Gen. Józefa Fiszer 14, 80-952 Gdańsk, skr. poczt. 621,  
☎ (0-58) 46-08-81 wew. 141, fax: (0-58) 41-61-44,  
e-mail: tjan@imppan.imp.pg.gda.pl

ISBN 83-01-95428-1  
ISSN 0079-3205

JAN MADEJSKI<sup>1</sup>Opory przepływu 2-fazowego w uźebrowanych rurach poziomych<sup>2</sup>

Problem tytułowy rozwiązano w oparciu o obliczony obwodowy rozkład strumienia ciepłego oraz obliczone rozkłady przestrzenne stopnia zapełnienia i prędkości. Dla tego ostatniego zagadnienia opracowano algorytm do obliczeń numerycznych, którego zasadę wyjaśniono na przykładzie kanału płaskiego.

## Oznaczenia

$A, A_d$	- pola przekrojów cieczy pęcherzykowej, wzgl. mgły,	$Nu_z$	- miejscowa liczba Nusselta,
$A_f$	- powierzchnia żebra,	$Pr$	- liczba Prandtla,
$C_D$	- koncentracja cieczy we mgle,	$Pe$	- liczba Peckleta,
$C_0, C_1, C_2$	- stałe,	$\dot{Q}$	- prąd cieplny,
$c_f$	- liczba oporu pęcherzyka,	$q(\varphi), q_z(z)$	- strumienie ciepłe,
$c_{pf}$	- ciepło właściwe spalin,	$Re$	- liczba Reynoldsa,
$c_p, c_p''$	- ciepło właściwe cieczy, wzgl. pary,	$St$	- liczba Stanton,
$D, D_o$	- średnica pęcherzyków,	$S, S_d$	- poślizg w cieczy pęcherzykowej, wzgl. we mgle,
$d, d_o$	- średnice rury, wewnętrzna, wzgl. zewnętrzna,	$s$	- funkcja, wzór (70),
$d_f$	- średnica zewnętrzna żebra,	$T_f(z)$	- temperatura spalin,
$d_h$	- średnica hydrauliczna,	$T_s$	- temperatura nasycenia,
$F$	- poprawka, wzór (44),	$T_w, T_o$	- temperatura rury wewnętrzna, wzgl. zewnętrzna,
$f, f_d$	- liczby oporu Fanninga dla cieczy wzgl. mgły,	$t$	- czas,
$f(Re)$	- funkcja liczby Reynoldsa,	$\Delta t$	- czas pracy zarodka,
$Gz$	- liczba Graetz,	$u_o$	- prędkość swobodnego wlotu pęcherzyka,
$g$	- przyspieszenie ziemskie,	$u_s$	- prędkość ślizgania pęcherzyka,
$H$	- poziom cieczy pęcherzykowej,	$u_y, u_z$	- składowe prędkości pęcherzyka,
$h$	- skok żeber śrubowych,	$v_z$	- składowe prędkości względnej pęcherzyka,
$h_o$	- rozstaw żeber,	$w_f$	- prędkość spalin,
$\Delta h$	- entalpia parowania,	$w, w', w''$	- prędkość cieczy, wzgl. cieczy pęcherzykowej, wzgl. pary
$k_1, k_2, k_3, k_4$	- stałe,	$w_d$	- prędkość mgły,
$k_x, k_y, k_z$	- współczynniki,		
$L$	- droga ślizgania pęcherzyka,		
$l$	- stała kapilarna,		
$m$	- masa,		

<sup>1</sup>Warszawa, ul. Św. Bonifacego 83/85 m. 92<sup>2</sup>Praca wykonana w ramach grantu KBN przyznanego IMP PAN nr 126/3/91

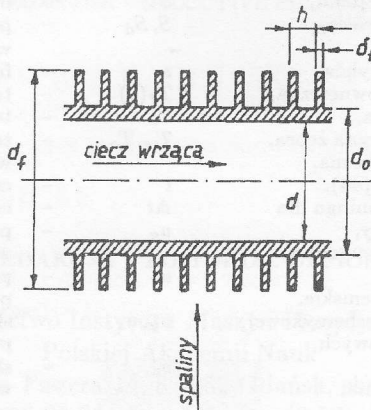
$\dot{M}, \dot{m}, \dot{m}_d$	- wydatki masowe,	$X_e, x_e$	- jakości,
$N_o, P_o$	- funkcje, wzory (Z.1) i (Z.2),	$x, y, z$	- współrzędne.

## Symbole greckie

$\alpha_\psi$	- współ. przyjmowania ciepła od spalin,	$\lambda_s$	- przewodność cieplna materiału żebra,
$\alpha_{DB}$	- współ. przyjmowania ciepła wg Dittusa-Boeltera,	$\lambda_t$	- przewodność cieplna materiału rury,
$\alpha_{PB}$	- współ. przyjmowania ciepła dla wrzenia pęcherzykowego w zbiorniku,	$\lambda', \lambda''$	- przewodność cieplna cieczy, wzgl. pary,
$\alpha_b$	- współ. przyjmowania ciepła dla wrzenia pęcherzykowego w przepływie,	$\mu', \mu''$	- lepkość dynamiczna cieczy, wzgl. pary,
$\beta$	- kąt przylegania,	$\nu_f$	- kinematyczny współczynnik lepkości spalin,
$\gamma$	- stała, wzór (92),	$\varphi, \bar{\varphi}, \bar{\bar{\varphi}}$	- stopień zapełnienia lokalny, średni w przekroju rury, wzgl. średni w całej objętości rury,
$\delta, \delta_o$	- bezwymiarowe średnice pęcherzyka; grubości filmu,	$\psi$	- kąt,
$\delta_f$	- grubość żebra,	$\omega$	- prędkość kątowa obrotu, pęcherzyka.
$\epsilon$	- kąt,		
$\eta, \zeta$	- współrzędne bezwymiarowe,		
$\eta_f$	- sprawność żebra,		
$\lambda_f$	- przewodność cieplna spalin,		

## 1. Wstęp

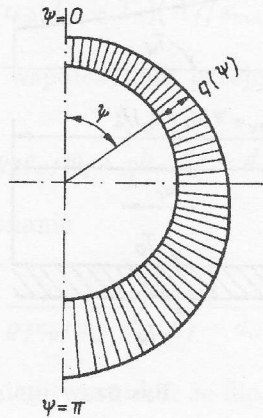
Celem niniejszego opracowania jest wyznaczenie spadku ciśnienia w cieczy wrzącej, płynącej w poziomych rurach, zwłaszcza poprzecznie uźebrowanych, ogrzewanych z zewnątrz spalinami, omywającymi rurę w kierunku prostopadłym do osi rury, rys. 1.



Rys. 1.

Takie rozwiązania konstrukcyjne (gęsto nawinięte śrubowo żebra zgrzewane z rurą) stosuje się w parownikach, ogrzewanych gazami wylotowymi z turbiny gazowej, a to celem intensyfikacji wymiany ciepła. Temperatura spalin maleje w kierunku przepływu, podobnie jak współczynnik przyjmowania ciepła od spalin

do powierzchni żeber. Stwarza to taki rozkład obwodowy strumienia ciepłego (od spalin), że największy strumień jest na dole ( $\psi = \pi$ , rys. 2), a najmniejszy na górze ( $\psi = 0$ ). Sytuacja jest więc sprzyjająca, gdyż dla  $\psi < \pi/2$  nukleacja jest utrudniona ze względu na niemożliwość oderwania się pęcherzyków. Gdyby kierunek przepływu spalin był z góry na dół, a więc odwrócony w porównaniu z rys. 1, wtenczas miejsca  $\psi < \pi/2$  byłyby zagrożone przepałem.



Rys. 2.

Tak więc, analizę należy rozpocząć od wyznaczenia obwodowego rozkładu strumienia ciepłego  $q(\psi)$ , co umożliwi zbadanie warunków nukleacji i obliczenie średnic pęcherzyków w chwili oderwania. Następnie trzeba obliczyć trajektorie pęcherzyków, co umożliwi znalezienie rozkładów przestrzennych stopnia zapełnienia  $\varphi$  i prędkości obu faz.

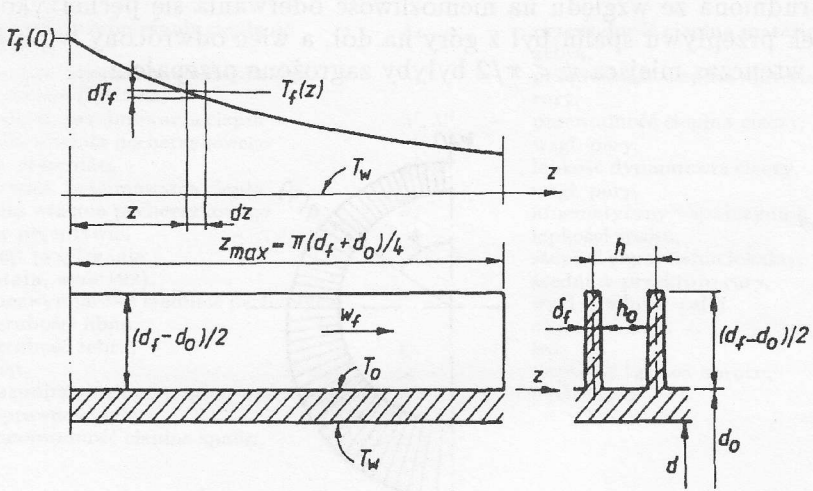
Wyniki te pozwolą na obliczenie spadku ciśnienia, jak również średniego lokalnego i średniego objętościowego stopnia zapełnienia, co będzie pomocne przy badaniu warunków cyrkulacji naturalnej w parownikach omawianego typu.

## 2. Obwodowy rozkład strumienia ciepłego

Opływ żebra następuje w kierunku z dołu do góry po łuku, którego współrzędna obwodowa  $z$  jest proporcjonalna do kąta  $(\pi - \psi)$ . Ze wzrostem tej współrzędnej temperatura  $T_f$  czynnika grzejącego, tj. spalin, maleje, przeto musi być  $q(\pi) > q(0)$  lub przy oznaczeniu  $q_z(z)$  wypada  $q_z(0) > q_z(z_{max})$ . Z doświadczeń wynika, że lokalny współczynnik przejmowania ciepła na żebrach poprzecznych maleje również w kierunku przepływu, a więc  $\alpha_z(0) > \alpha_z(z_{max})$ .

Wyniki badań doświadczalnych na rurach uźebrowanych opracowane są z reguły tak, że podaje się wartość średnią współczynnika przejmowania ciepła  $\alpha_f$  (vide: Kays i London [1]), obliczoną z eksperymentów za pomocą szczególnej umowy.

Aby uchwycić zależność  $q_z(z)$  potraktujemy opływ żebra jako przepływ kanałowy prostoosiowy, którego schemat przedstawiony jest na rys. 3.



Rys. 3.

Powierzchnię boczną żebra,  $\pi(d_f^2 - d_o^2)/4$ , przedstawiamy jako prostokąt o wysokości  $(d_f - d_o)/2$  i długości  $2z_{max} = [\pi(d_f^2 - d_o^2)/4] : [(d_f - d_o)/2]$  skąd

$$z_{max} = \pi(d_f + d_o)/4. \quad (1)$$

Mamy więc do czynienia z kanałem o średnicy hydraulicznej

$$d_h = \frac{4 \cdot h_o \cdot \frac{1}{2}(d_f - d_o)}{2 \cdot \frac{1}{2}(d_f - d_o) + h_o} = \frac{2h_o(d_f - d_o)}{d_f - d_o + h_o}, \quad (2)$$

gdzie

$$h_o = h - \delta_f. \quad (3)$$

Przez ten kanał przepływa czynnik grzejący o temperaturze  $T_f(z)$ , której wartość na wlocie  $z = 0$  jest dana i wynosi  $T_f(0)$ . Zmienna  $z$  wiąże się z kątem  $\psi$  zależnością liniową

$$z = (\pi - \psi) \cdot (d_f + d_o)/4. \quad (4)$$

Prędkość średnia czynnika  $w_f$  jest zwykle stosowaną w badaniach doświadczalnych prędkością charakterystyczną, liczoną na przekrój największy.

Powierzchnia efektywna kanału, przypadającego na jedno żebro na odcinku od  $z = 0$  do  $z_{max}$  wynosi z uwzględnieniem sprawności żebra  $\eta_f$

$$A_f = \frac{\pi}{2} d_o h_o + \eta_f \cdot \frac{\pi}{4} (d_f^2 - d_o^2), \quad (5)$$

a na odcinku jednostkowym  $A_f/z_{max}$ , wobec czego, rozpatrując odcinek  $dz$ , mamy tam elementarną powierzchnię efektywną

$$dA_f = (A_f/z_{max}) \cdot dz. \quad (6)$$

Na tej powierzchni doprowadza się elementarny prąd ciepły

$$d\dot{Q} = \alpha_\psi(T_f - T_o)(A_f/z_{max})dz, \quad (7)$$

w którym  $\alpha_\psi$  oznacza lokalny współczynnik przejmowania ciepła, zależny od  $z$ , czyli  $\psi$ . Skądinąd

$$d\dot{Q} = -\rho_f c_{pf} w_f \cdot \frac{1}{2} h_o (d_f - d_o) \cdot dT_f, \quad (8)$$

wobec czego otrzymuje się równanie

$$\frac{dT_f}{T_f - T_o} = -\frac{2\alpha_\psi A_f}{\rho_f c_{pf} w_f \cdot h_o (d_f - d_o) \cdot z_{max}} \cdot dz, \quad (9)$$

a po całkowaniu z uwzględnieniem warunku, że dla  $z = 0$  jest  $T_f = T_f(0)$ , mamy

$$\frac{T_f - T_o}{T_f(0) - T_o} = \exp \left[ -\frac{2A_f}{\rho_f c_{pf} w_f \cdot h_o (d_f - d_o) z_{max}} \int_0^z \alpha_\psi dz \right]. \quad (10)$$

Dla wyznaczenia zależności  $\alpha_\psi(z)$  zastosujemy następującą ideologię. Musi tu być uwzględniony rozbieg termiczny, a z uwagi na zwykle małe odstępki żeber  $h_o$  przepływ może być nawet laminarny. Gdyby tak było, to można by było zastosować rozwiązanie Lévêque'a

$$Nu_z = \frac{\alpha_\psi d_h}{\lambda_f} = 1.169 Gz^{1/3}, \quad (11)$$

gdzie

$$Gz = \frac{\pi}{4} Pe \cdot \frac{d_h}{z} \quad (12)$$

jest liczbą Graetza, zaś

$$Pe = \rho_f c_{pf} w_f d_h / \lambda_f \quad (13)$$

liczbą Pecleta. Znamy jednak zazwyczaj średni współczynnik przejmowania ciepła  $\alpha_f$ , obliczony w pewien określony sposób. Dlatego do wzoru (11) wprowadzimy poprawkę  $F$ , a mianowicie przyjmiemy

$$Nu_z = \frac{\alpha_\psi d_n}{\lambda_f} = 1.169 \cdot F \cdot Gz^{1/3}, \quad (14)$$

przy czym wartość tej poprawki ustalimy po konfrontacji z danymi doświadczalnymi. W ten sposób mamy

$$\alpha_\psi = 1.169F \cdot \left(\frac{\pi}{4}\right)^{1/3} \cdot \frac{\lambda_f}{d_h} \cdot Pe^{1/3} \cdot \left(\frac{z}{d_h}\right)^{-1/3}, \quad (15)$$

co podstawia się do (10), otrzymując

$$\frac{T_f - T_o}{T_f(0) - T_o} = \exp \left[ -\frac{6.471 \cdot FA_f}{(d_f - d_o + h_o)z_{max}} \cdot Pe^{-2/3} \cdot \left(\frac{z}{d_h}\right)^{2/3} \right], \quad (16)$$

przy czym wykorzystano wzór (2).

Podstawiamy teraz wyniki (15) i (16) do wzoru (7) i wykonujemy całkowanie w zakresie od  $z = 0$  do  $z = z_{max}$ ; otrzymujemy

$$\begin{aligned} \dot{Q} &= \frac{1}{4} \lambda_f (d_f - d_o + h_o) \cdot Pe [T_f(0) - T_o] * \\ &* \left\{ 1 - \exp \left[ -\frac{6.471 \cdot FA_f}{(d_f - d_o + h_o)z_{max}} \cdot Pe^{-2/3} \cdot \left(\frac{z_{max}}{d_h}\right)^{2/3} \right] \right\}. \end{aligned} \quad (17)$$

Z doświadczeń znany jest średni współczynnik przejmowania ciepła  $\alpha_f$ , przy czym jest on określony z równania

$$\dot{Q} = \alpha_f [T_f(0) - T_o] \cdot A_f \quad (18)$$

Z tych dwóch równań można wyznaczyć poprawkę  $F$ . Nadmieniamy, że dane doświadczalne opracowywane są tak, że liczba Stanton'a

$$St = Nu/Pe = \frac{\alpha_f d_h}{\lambda_f} Pe^{-1} \quad (19)$$

przedstawiona jest jako zależność danej graficznie, lub za pomocą wzoru, funkcji liczby Reynoldsa, która to funkcja mnożona jest przez  $Pr^{-2/3}$ . Tak więc

$$St \cdot Pr^{2/3} = f(Re), \quad (20)$$

gdzie

$$Re = w_f d_h / \nu_f. \quad (21)$$

W ten sposób z konfrontacji (17) i (18) otrzymujemy

$$F = -\frac{(d_f - d_o + h_o)z_{max}^{1/3} \cdot d_h^{2/3}}{6.471 \cdot A_f} \cdot Pe^{2/3} \cdot \ln \left[ 1 - \frac{4A_f Pr^{-2/3} \cdot f(Re)}{(d_f - d_o + h_o)d_h} \right]. \quad (22)$$

W książce Kaysa i Londona [1] można znaleźć na str. 223, rys. 10-82, charakterystykę układów rur z żebrami śrubowymi symbol  $CF8.8 - 1.0J(b)$ , opartą na



doświadczeniach Jamesona. Wymiary tych rur są następujące:  $d_o = 26\text{mm}$ ,  $d_f = 44\text{mm}$ ,  $h = 2.9\text{mm}$ ,  $\delta_f = 0.3\text{mm}$ ,  $h_o = 2.6\text{mm}$ , co daje  $d_h = 4.54\text{mm}$ ,  $d_f - d_o + h_o = 20.6\text{mm}$ ,  $z_{max} = 55.0\text{mm}$ ,  $A_f = 798.9\text{mm}^2$ . Podstawienie tych danych do wzoru (22) daje przy założeniu  $Pr = 0.7$

$$F = -0.03276 \cdot Re^{2/3} \cdot \ln[1 - 43.34f(Re)], \quad (23)$$

przy czym przyjęto  $\eta_f = 0.7$  dla ułatwienia obliczeń. Rzeczywistą wartość sprawności żebra powinno obliczyć się ze wzoru  $\eta_f = th\gamma/\gamma$ , gdzie  $\gamma = \sqrt{2\alpha_f/\delta_f\lambda_s}$ , gdzie  $\alpha_f$  obliczyć trzeba ze wzoru (20). zaś  $\lambda_s$  jest przewodnością cieplną materiału żebra. Ze wspomnianego wykresu na rys. 10-82 [1] wynika, że

$$f(Re) = 0.2435Re^{-0.4} \quad (24)$$

w zakresie liczb Reynoldsa od 2000 do co najmniej 12000. Ta sama zależność powinna obowiązywać dla geometrii podobnych, a takie (z niewielkimi odstępstwami) stosowane są w parownikach omawianego typu. Chodzi o rury o średnicy wewnętrznej  $d = 38\text{mm}$ , oraz  $d_o = 46\text{mm}$ ,  $d_f = 78\text{mm}$ ,  $h = 6\text{mm}$ ,  $\delta_f = 1\text{mm}$ ,  $h_o = 5\text{mm}$ , co daje  $d_h = 8.65\text{mm}$ ,  $d_f - d_o + h_o = 37\text{mm}$ ,  $z_{max} = 97.4\text{mm}$ ,  $A_f = 2278.9\text{mm}^2$ . W tym przypadku *ceteris paribus* otrzymujemy wzór

$$F = -0.03835Re^{2/3}\ln[1 - 36.13f(Re)]. \quad (25)$$

Tablica 1 podaje obliczone wartości  $F$  dla obu przypadków. Wartości te rosną wraz z liczbą Reynoldsa, ale wzrost jest dość słaby, albowiem  $F \sim Re^n$ , gdzie  $n$  wynosi 1/6 do 1/5.

Tablica 1

$Re \cdot 10^{-3}$	2	4	6	8	10	12	14	16	18
$F$ wg (23)	3.653	3.979	4.254	4.485	4.683	4.859	5.016	5.159	5.291
$F$ wg (25)	3.322	3.710	4.004	4.243	4.445	4.623	4.781	4.926	5.136

W ten sposób znany jest współczynnik  $\alpha_\psi$ , a jeśli do określającego go wzoru podstawimy z wg (4), to otrzymamy

$$\alpha_\psi = k_1(\pi - \psi)^{-1/3}, \quad (26)$$

gdzie

$$k_1 = 1.169F \left(\frac{\pi}{4}\right)^{1/3} \frac{\lambda_f}{d_h} \cdot Pe^{1/3} \left(\frac{4d_h}{d_f + d_o}\right)^{1/3} \quad (27)$$

Podobnie skrótowo można napisać wzór (16), a mianowicie

$$\frac{T_f - T_o}{T_f(0) - T_o} = \exp[-k_2(\pi - \psi)^{2/3}], \quad (28)$$

gdzie

$$k_2 = \frac{6.471 \cdot F A_f}{(d_f - d_o + h_o) z_{max}} \cdot Pe^{-2/3} \left( \frac{d_f + d_o}{4d_h} \right)^{2/3}. \quad (29)$$

Podstawienie (4), (26) i (29) do wzoru (7) daje

$$d\dot{Q} = k_3 [T_f(0) - T_o] \cdot (\pi - \psi)^{-1/3} \cdot \exp \left[ -k_2 (\pi - \psi)^{2/3} \right] d(\pi - \psi), \quad (30)$$

gdzie

$$k_3 = k_1 \cdot A_f / \pi. \quad (31)$$

W stanie ustalonym to samo ciepło jest przewodzone przez ściankę rury o średnicy zewnętrznej  $d_o$  i wewnętrznej  $d$  przy przewodności cieplnej materiału  $\lambda_t$ , zazwyczaj mniejszej od przewodności cieplnej materiału żebra  $\lambda_s$ . Temperatura zewnętrzna rury jest  $T_o$ , a wewnętrzna  $T_w$ . Wtedy

$$d\dot{Q} = \lambda_t h (T_o - t_w) \cdot \frac{1}{\ln(d_o/d)} d(\pi - \psi). \quad (32)$$

Wreszcie mamy

$$d\dot{Q} = h \cdot d \cdot q(\psi) \cdot (\pi - \psi). \quad (33)$$

Z równań (30), (32) i (33) eliminujemy  $d\dot{Q}$  i  $T_o$  otrzymując

$$q(\psi) = \frac{k_3}{hd} \cdot \frac{T_f(0) - T_w}{(\pi - \psi)^{1/3} \exp [k_2 (\pi - \psi)^{2/3}] + \frac{k_3}{h\lambda_t} \ln \frac{d_o}{d}}. \quad (34)$$

Zwracamy uwagę na wymiary stałych; jest mianowicie  $[k_1] = W/m^2 K$ ,  $[k_2] = 1$ ,  $[k_3] = W/K$ .

Wzór (34) można napisać w następujący sposób:

$$q(\psi) = q(\pi) \cdot \frac{k_4}{(\pi - \psi)^{1/3} \exp [k_2 (\pi - \psi)^{2/3}] + k_4}, \quad (35)$$

gdzie

$$k_4 = \frac{k_3}{h\lambda_t} \ln \frac{d_o}{d}. \quad (36)$$

Dla rur parownika ( $d = 38 \text{ mm}$ ,  $\lambda_t = 20 \text{ W/mK}$ ) otrzymaliśmy przy  $\lambda_f = 0.088 \text{ W/mK}$ ,  $Pe = 4200$ , następujące wartości stałych:  $k_1 = 463.2 \text{ W/m}^2 K$ ,  $k_2 = 0.1474$ ,  $k_3 = 0.3360 \text{ W/K}$ ,  $k_4 = 0.535$ . Przykładowa zależność  $q(\psi)/q(\pi)$  podana jest w tablicy 2.

Tablica 2

$\pi - \psi$	$\pi$	$5\pi/6$	$2\pi/3$	$\pi/2$	$\pi/3$	$\pi/6$	$\pi/12$	$\pi/24$	$\pi/48$	0
$\frac{q(\psi)}{q_o}$	0.210	0.227	0.247	0.274	0.312	0.376	0.440	0.504	0.564	1.0
								(0.510)	(0.580)	(0.610)

W otrzymanym rozkładzie obwodowym strumienia cieplnego  $q(\psi)$  występuje w pobliżu  $\psi = \pi$  w zakresie kilku stopni lokalny pik, spowodowany tym, że w założonym modelu rura styka się ze spalinami o wlotowej temperaturze. Stąd wynika duża wartość temperatury ścianki w tym miejscu i powstanie obwodowego strumienia cieplnego w samej ściance, powodującego zmniejszenie temperatury ścianki w porównaniu z jej wartością, wynikającą z

$$q(\pi) = \frac{\lambda_t}{d} \cdot \frac{T_f(0) - T_w}{\ln(d_o/d)} = q_o. \quad (37)$$

Skutkiem tego rzeczywista wartość  $q(\psi)/q_o$  jest mniejsza w pobliżu  $\psi = \pi$ , a jej wartości przybliżone podane są w nawiasach w tablicy 2. Z tych właśnie wartości należy korzystać i np. w rzeczywistości mamy  $q(\pi) = 0.610 \cdot q_o$  zamiast  $q(\pi)/q_o = 1$ . Tablica 2 wskazuje, że

$$q(0)/q(\pi) = 0.2103/0.610 = 0.345 \quad (38)$$

i ten wynik ma istotne znaczenie w wykonywanej analizie. Dodamy, że wspomniany pik jest bardzo ostry i praktycznie nie ma istotnego wpływu na wartość średnią.

### 3. Dyskusja zjawiska i przyjęcie założeń upraszczających

Podobny problem w przypadku rur pionowych (vide [2]) charakteryzuje się zwykle symetrią osiową, tak pod względem ogrzewania, jak i organizacji przepływu 2-fazowego pęcherzykowego. Stopień zapełnienia  $\varphi$  rośnie w kierunku przepływu  $z$  ( $z$  jest współrzędną skierowaną do góry) szybciej, niż to wynika z doprowadzania ciepła, a to wskutek ruchu pęcherzyków pary względem cieczy z prędkością (vide [2])

$$w_p = 1.53(1 - \varphi) \cdot (\Delta \rho g l / \rho')^{1/2}, \quad l = (\sigma / g \Delta \rho)^{1/2}, \quad (39)$$

skierowaną wzdłuż współrzędnej  $z$ . Spadek ciśnienia określa wtedy wzór

$$\frac{dp}{dz} = 0.092 \left( \frac{w d \rho'}{\mu'} \right)^{-0.2} \cdot \frac{\rho' w^2}{d} \cdot \left( \frac{w'}{w} \right)^{1.8}, \quad (40)$$

gdzie  $w'$  jest średnią prędkością cieczy wrzącej, zaś  $w$  średnią prędkością samej cieczy na wlocie, wynikającą z wydatku:

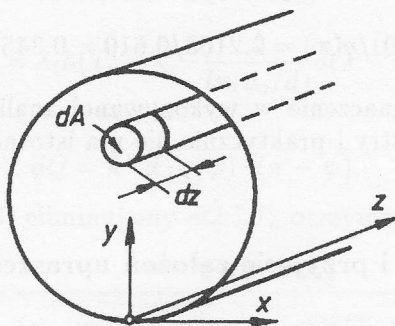
$$\dot{m} = A \rho' w, \quad A = \pi d^2 / 4. \quad (41)$$

Uśrednianie prędkości i stopnia zapełnienia w przekroju poprzecznym jest tutaj dopuszczalne właśnie ze względu na symetrię osiową, której brak w obecnie

omawianym zagadnieniu. Omówimy poszczególne cechy tego braku symetrii i konsekwencje stąd wynikające.

Po pierwsze, strumień cieplny jest trzykrotnie większy na dole rury, niż na górze. To powoduje, że doprowadzona chłodna ciecz o temperaturze  $T < T_s$  ogrzeje się wcześniej do temperatury nasycenia  $T_s$  w partiach dolnych przekroju, niż w partiach górnych, jakkolwiek istnieje dążność pewnego wyrównywania się temperatur wskutek turbulენტnej wymiany ciepła. A zatem nukleacja zaistnieje wcześniej na dole, niż na górze. W początkowej fazie wrzenia pęcherzykowego istnieje więc taka sytuacja, że pęcherzyki powstają i odrywają się tylko od części powierzchni rury, usytuowanej na dole.

Druga właściwość wynika z charakteru ruchu pęcherzyków, które wykazują tendencję ruchu ku górze (w kierunku  $y$ , zaznaczonym na rys. 4), ale są również porywane przez ciecz

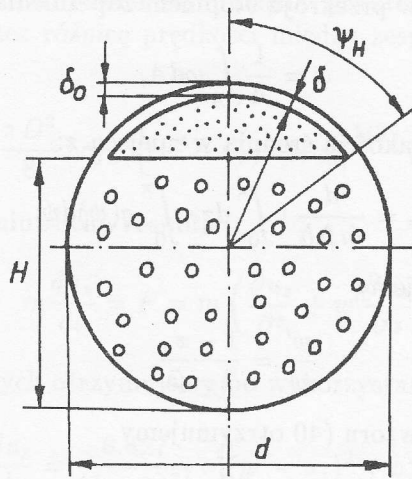


Rys. 4.

Ruch ku górze powoduje przedostanie się pęcherzyków w partie górne cieczy, gdzie temperatura będzie niższa od temperatury nasycenia. Tam wystąpi częściowa kondensacja pary w pęcherzykach, czyli pojawi się zjawisko właściwe dla końcowego okresu wrzenia przechłodzonego. Proces ten przyspiesza wyrównywanie się temperatury w cieczy, jednakowoż jest ograniczenie ruchu pęcherzyków przez górną część powierzchni rury, gdzie nastąpi koalescencja pęcherzyków i powstanie warstwy parowej, ewentualnie wypełnionej drobnymi kropelkami cieczy.

W ten sposób w miarę wyrównywania się temperatur w przekroju poprzecznym musi nastąpić rozwarstwienie. Na dole będziemy mieli do czynienia z przepływem cieczy pęcherzykowej, stykającej się z częścią powierzchni wewnętrznej rury, produkującej pęcherzyki. Natomiast na części górnej nukleacji być nie może; ścianka będzie chroniona przez film, do którego przylega obszar mgły. Sytuację tę obrazuje rys. 5, na którym zaznaczono wymiary, charakteryzujące geometrię i morfologię przepływu 2-fazowego, niezbędną dla zbadania warunków wymiany ciepła (vide [3]).

Z powyższego opisu wynika, że w omawianym zjawisku brakuje jakiegokolwiek symetrii, umożliwiającą uproszczenie analizy i korzystanie z uproszczonego modelu przepływu. W szczególności tak stopień wypełnienia  $\varphi$ , wystę-



Rys. 5.

pujący w (39), jak i lokalna prędkość cieczy w kierunku przepływu  $w'$ , występująca w (40), będą zależały od wszystkich trzech współrzędnych, a więc  $\varphi = \varphi(x, y, z)$ ,  $w' = w'(x, y, z)$ . Nadto trzeba dodać, że od miejsca pierwszej nukleacji, tzn. miejsca, gdzie cała ciecz będzie w stanie nasycenia, występują szczególnie złożone warunki, które łatwiej opisać słownie, niż matematycznie. Ten odcinek rury nie będzie analizowany w niniejszym opracowaniu, które opiera się na następujących założeniach upraszczających:

- ciecz w całej masie jest w temperaturze nasycenia  $T_s$ ;
- pomija się ruchy poprzeczne cieczy;
- generacja pęcherzyków ma miejsce tylko w partii dolnej powierzchni rury;
- pęcherzyki poruszają się w płaszczyznach równoległych do płaszczyzny  $y, z$  (vide rys. 4) bez ruchów pobocznych;
- procesy oderwania się i odlotu pęcherzyków oraz ich wzrostu do ostatecznej średnicy  $D$  są połączone i odbywają się na powierzchni grzejnej.

Przy takich założeniach trajektorie pęcherzyków przecinają na ogół rurki prądowe o przekroju poprzecznym  $dA$  (vide rys. 4), a kończą się w danej rurce tylko wtedy, gdy  $\varphi = 1$ .

Wskutek pominięcia ruchów poprzecznych cieczy dla każdej rurki prądowej można przyjąć słuszność zależności (40). Chodzi teraz o określenie prędkości  $w'$ . Poza strefą wrzącą obowiązuje zależność (41), zaś w strefie wrzącej wydatek cieczy wynosi

$$\dot{m}' = \rho' A (1 - \bar{\varphi}) w' = (1 - x_e) \dot{m} = (1 - x_e) A \rho' w, \quad (42)$$

gdzie  $\bar{\varphi}$  jest uśrednionym w przekroju stopniem zapelnienia, tj.

$$\bar{\varphi} = \frac{1}{A} \int_A \varphi dA, \quad (43)$$

zaś  $x_e$  jest równowagową jakością średnią w miejscu  $z$ :

$$x_e = \frac{d}{\dot{m}\Delta h} \cdot \int_0^z dz \cdot \int_0^\pi q(\psi) d\psi. \quad (44)$$

Z zależności (42) otrzymujemy

$$\frac{w'}{w} = \frac{1 - x_e}{1 - \bar{\varphi}}, \quad (45)$$

skąd po podstawieniu do wzoru (40) otrzymujemy

$$\frac{dp}{dz} = 0.092 \left( \frac{wd\rho'}{\mu'} \right)^{-0.2} \cdot \frac{\rho'w^2}{d} \cdot \left( \frac{1 - x_e}{1 - \bar{\varphi}} \right)^{1.8}. \quad (46)$$

Jakość  $x_e$  jest znana, skoro rozporządząmy zależnością  $q(\psi)$ . Wobec tego postawiony problem będzie rozwiązany, gdy znajdziemy zależność  $\varphi(x, y, z)$ .

#### 4. Obliczenie trajektorii pęcherzyków i stopnia zapelnienia

Zespół, w skład którego wchodzi pęcherzyk o objętości  $V = \pi D^3/6$  oraz dodana masa cieczy o objętości  $V/2$  porusza się w cieczy z prędkością  $u$ , której składowe wynoszą  $u_y$  i  $u_z$ . Masa zespołu wynosi

$$m = \frac{\pi}{6} D^3 (\rho'' + \frac{1}{2} \rho'). \quad (47)$$

Składowa  $u_y = w_p$  jest dana (vide (39)). Jeśli pęcherzyk porusza się w nieruchomej cieczy pęcherzykowej ruchem jednostajnym, to działająca nań siła wyporu  $\pi D^3 g \Delta \rho / 6$  równoważy się z siłą oporu

$$F = \frac{\pi D^2}{8} \cdot c_f \rho' u_y^2 = \frac{\pi D^3}{6} g \Delta \rho, \quad (48)$$

gdzie  $c_f$  jest liczbą oporu. Stąd mamy

$$c_f = \frac{4}{3} \cdot \frac{Dg\Delta\rho}{\rho'u_y^2}, \quad (49)$$

a podstawiając tu  $u_y = w_p$  według wzoru (39) otrzymujemy

$$c_f = \frac{0.570}{(1 - \varphi)^2} \cdot \frac{D}{l}. \quad (50)$$

Składowa  $u_z$ , początkowo równa zeru, rośnie wskutek działania na zespół siły oporu, wywołanej przez różnicę prędkości między zespołem i otaczającą cieczą. Siła ta wynosi

$$F = \frac{\pi D^2}{8} \cdot c_f \rho' [(w' - u_z)^2 + u_y^2]^{1/2} \cdot (w' - u_z); \quad (51)$$

figuruje ona w równaniu ruchu zespołu

$$m \frac{du_z}{dt} = F = m \left( \frac{\partial u_z}{\partial t} + w' \frac{\partial u_z}{\partial z} \right). \quad (52)$$

W warunkach ustalonych otrzymujemy po wykorzystaniu (47), (50) i (51)

$$\left( \frac{\rho''}{\rho'} + \frac{1}{2} \right) w' \cdot \frac{du_z}{dz} = \frac{0.427}{(1 - \varphi)^2 l} \cdot [(w' - u_z)^2 + u_y^2]^{1/2} \cdot (w' - u_z), \quad (53)$$

przy czym

$$u_y = u_o(1 - \varphi), \quad (54)$$

gdzie

$$u_o = 1.53(\Delta \rho g l / \rho')^{1/2} \quad (55)$$

zgodnie z (39), oraz

$$w' = w \cdot \frac{1 - x_e(z)}{1 - \bar{\varphi}(z)} = w'(z) \quad (56)$$

zgodnie z (45). Wprowadzamy zmienne bezwymiarowe

$$\eta = \frac{0.427}{l \left( \frac{\rho''}{\rho'} + \frac{1}{2} \right)} \cdot y, \quad \zeta = \frac{0.427}{l \left( \frac{\rho''}{\rho'} + \frac{1}{2} \right)} \cdot z. \quad (57)$$

Wtedy równanie (53) przybiera postać

$$(1 - \varphi)^2 w' \frac{du_z}{d\zeta} = [(w' - u_z)^2 + u_y^2]^{1/2} \cdot (w' - u_z), \quad (58)$$

przy czym warunek początkowy jest  $u_z(0) = u_s$ . Mając rozwiązanie  $u_z(\zeta)$ , można wyznaczyć trajektorię pęcherzyka, albowiem

$$u_y = \frac{dy}{dt}, \quad u_z = \frac{dz}{dt}, \quad (59)$$

skąd

$$\frac{dy}{dz} = \frac{d\eta}{d\zeta} = \frac{u_y}{u_z} = \frac{u_o}{u_z} (1 - \varphi) \quad (60)$$

oraz

$$\eta = \int_0^\zeta \frac{u_o(1-\varphi)}{u_z(\zeta)} \cdot d\zeta. \quad (61)$$

Nadto

$$t = \int_0^t \frac{dy}{u_o(1-\varphi)}. \quad (62)$$

Miejsce  $z = 0 = \zeta$ , z którego odrywa się pęcherzyk, określa położenie aktywnego zarodka, którego okres pracy wynosi  $\Delta t$ . Znając zależność  $y(t)$ , można na trajektorii (61) wyznaczyć chwilowe położenia pęcherzyków wyprodukowanych przez dany zarodek, co pozwoli na obliczenie stopnia wypełnienia  $\varphi$  przez zwykłe policzenie pęcherzyków ze wszystkich trajektorii w pobliżu miejsca o współrzędnych  $x, y, z$ , tzn. w objętości  $\Delta x \cdot \Delta y \cdot \Delta z$ . Taka jest zasadnicza myśl metody rozwiązania problemu.

Stosujemy metodę kolejnych przybliżeń, znajdując najpierw trajektorię dla jednego jedynego pęcherzyka, tj. dla  $\varphi = 0, w' = w, w_y = u_o$ . Równanie (58) ma wtedy postać

$$w \frac{du_z}{d\zeta} = [(w - u_z)^2 + u_o^2]^{1/2} (w - u_z). \quad (63)$$

Wprowadzając prędkość względną

$$v_z = w - u_z, \quad (64)$$

otrzymujemy

$$-w \frac{dv_z}{d\zeta} = (v_z^2 + u_o^2)^{1/2} \cdot v_z, \quad (65)$$

co łatwo całkuje się przez rozdzielenie zmiennych. Otrzymujemy

$$u_o + (v_z^2 + u_o^2)^{1/2} = C_o v_z \cdot \exp(u_o \zeta / w), \quad (66)$$

gdzie  $C_o$  jest stałą całkowania. Wyznaczamy ją z warunku początkowego  $v_z(0) = w - u_z(0) = w - u_s = w_s$ . W związku z tym

$$C_o = \frac{u_o}{w_s} + \sqrt{1 + \left(\frac{u_o}{w_s}\right)^2}. \quad (67)$$

Z równania (66) otrzymujemy

$$v_z = u_o \cdot \frac{2C_o \exp(u_o \zeta / w)}{C_o^2 \cdot \exp(2u_o \zeta / w) - 1}, \quad (68)$$

wobec czego

$$u_z = w - u_o \cdot \frac{2C_o \exp(u_o \zeta / w)}{C_o^2 \exp(2u_o \zeta / w) - 1}, \quad (69)$$



co można podstawić do wzoru (61). Wprowadzamy tymczasowy skrót

$$s = C_o \exp(u_o \zeta / w), \quad (70)$$

z którego wynika, że

$$ds = \frac{u_o}{w} s \cdot d\zeta, \quad (71)$$

$$u_z = w - u_o \frac{2s}{s^2 - 1}. \quad (72)$$

W związku z tym

$$\eta = w \int_{C_o}^s \frac{ds}{s \left( w - u_o \cdot \frac{2s}{s^2 - 1} \right)}. \quad (73)$$

Stąd wynika, że

$$\eta = \int_{C_o}^s \frac{(s^2 - 1) ds}{s \left( s^2 - 2 \frac{u_o}{w} - 1 \right)} = \int_{C_o}^s \frac{s ds}{X(s)} - \int_{C_o}^s \frac{ds}{s \cdot X(s)}, \quad (74)$$

gdzie

$$X(s) = s^2 - 2 \frac{u_o}{w} - 1. \quad (75)$$

We wzorze (74) występują znane całki, więc rozwiązanie ma następującą postać

$$\eta = \ln \frac{s}{C_o} - \frac{\frac{u_o}{w}}{\sqrt{1 + \left( \frac{u_o}{w} \right)^2}} * \\ * \ln \left( \frac{s - \frac{u_o}{w} - \sqrt{1 + \left( \frac{u_o}{w} \right)^2}}{C_o - \frac{u_o}{w} - \sqrt{1 + \left( \frac{u_o}{w} \right)^2}} \cdot \frac{C_o - \frac{u_o}{w} + \sqrt{1 + \left( \frac{u_o}{w} \right)^2}}{s - \frac{u_o}{w} + \sqrt{1 + \left( \frac{u_o}{w} \right)^2}} \right), \quad (76)$$

lub po podstawieniu (70)

$$\eta = \frac{u_o}{w} \cdot \zeta - \frac{\frac{u_o}{w}}{\sqrt{1 + \left( \frac{u_o}{w} \right)^2}} * \\ * \ln \left( \frac{C_o \exp(u_o \zeta / w) - \frac{u_o}{w} - \sqrt{1 + \left( \frac{u_o}{w} \right)^2}}{C_o - \frac{u_o}{w} - \sqrt{1 + \left( \frac{u_o}{w} \right)^2}} \cdot \frac{C_o - \frac{u_o}{w} + \sqrt{1 + \left( \frac{u_o}{w} \right)^2}}{C_o \exp(u_o \zeta / w) - \frac{u_o}{w} + \sqrt{1 + \left( \frac{u_o}{w} \right)^2}} \right). \quad (77)$$

Poza tym mamy

$$t = \frac{y}{u_o} = \frac{l}{0.427u_o} \cdot \left( \frac{\rho''}{\rho'} + \frac{1}{2} \right) \cdot \eta. \quad (78)$$

Tablica 3

$\zeta$	$\eta$
0	0
0.5	0.174
1	0.357
1.5	0.547
2	0.742
2.5	0.942
3	1.144
3.5	1.348
4	1.555
4.5	1.763
5	1.972
6	2.393
7	2.816
8	3.241
9	3.667
10	4.094
15	6.232
20	8.372
25	10.51
30	12.65
35	14.79
40	16.93
45	19.07
50	21.21

W tablicy 3 podane są współrzędne bezwymiarowe trajektorii pęcherzyka przy  $\varphi = 0$  dla wody pod ciśnieniem  $p = 2.32 \text{ MPa}$ . W tych warunkach  $T_s = 220 \text{ }^\circ\text{C}$ ,  $\rho' = 840.34 \text{ kg/m}^3$ ,  $\rho'' = 11.61 \text{ kg/m}^3$ ,  $l = 2.02 \cdot 10^{-3} \text{ m}$ , skąd  $u_o = 0.214 \text{ m/s}$ . Zakładając  $w = 0.5 \text{ m/s}$ ,  $u_s = 0.4 \text{ m/s}$  otrzymujemy

$$\begin{aligned} \eta &= 411.4 \cdot y, \\ \zeta &= 411.4 \cdot z, \\ t &= 0.01136 \cdot \eta \text{ [s]}, \\ u_o/w &= 0.428, \\ C_o &= 5.055, \end{aligned}$$

oraz

$$\eta = 0.428\zeta - 0.393 \ln \left( 1.615 \cdot \frac{e^{0.428\zeta} - 0.300}{e^{0.4283\zeta} + 0.131} \right). \quad (79)$$

Obliczenie stopnia zapelnienia na trajektorii pęcherzyka wykonuje się w sposób następujący. Dla przykładu zajmiemy się miejscem  $\psi = \pi$ . Obliczamy najpierw  $q_o$  według (37) dla założonego  $T_f(0) - T_w = 200 \text{ K}$ . Przy  $d_o = 46 \text{ mm}$ ,  $d = 38 \text{ mm}$ ,  $\lambda_t = 20 \text{ W/mK}$  otrzymujemy  $q_o = 5.510 \cdot 10^5 \text{ W/m}^2$ . Dla ciśnienia  $2.32 \text{ MPa}$  mamy z tablic  $\lambda' = 0.645 \text{ W/mK}$ , co pozwala obliczyć współczynnik przejmowania ciepła dla konwekcji ze wzoru

$$\alpha_{DB} = 0.019 \frac{\lambda'}{d} \cdot Pr^{1/3} Re^{0.8}, \quad (80)$$

co przy  $Pr' = 0.891$ ,  $Re = 1.2814 \cdot 10^5$  daje  $\alpha_{DB} = 0.3784 \cdot 10^4 \text{ W/m}^2\text{K}$ . Współczynnik przejmowania ciepła dla wrzenia

obliczamy ze wzoru

$$\alpha_{PB} = C_1 q^{2/3}, \quad (81)$$

przy czym dla danego ciśnienia jest  $C_1 = 6.474 (W/m^2)^{1/3} / K$ . Z tablicy 2 dla  $\varphi = \pi$  mamy  $q = 0.610$   $q_o = 3.361 \cdot 10^5 \text{ W/m}^2$ , wobec czego  $\alpha_{PB} = 3.1295 \cdot 10^4 \text{ W/m}^2\text{K}$ , co daje

$$\alpha_b = \alpha_{PB} + \alpha_{DB} = 3.5079 \cdot 10^4 \text{ W/m}^2\text{K}.$$

Na tej podstawie można obliczyć temperaturę  $T_w$  na wewnętrznej ścianie rury. Mamy bowiem

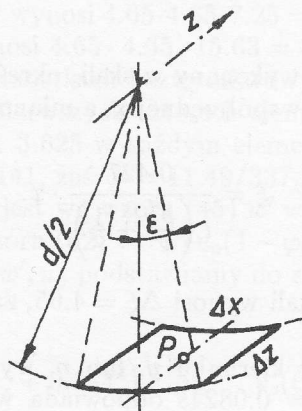
$$q = \alpha_b (T_w - T_s), \quad (82)$$

stąd  $T_w - T_s = q/\alpha_b = 9.58K$ , czyli  $T_w \approx 230^\circ C$ ,  $T_f(0) = 430^\circ C$ . Z kolei należy obliczyć okres  $\Delta t$ , w którym zarodek produkuje jeden pęcherzyk. Okres ten stanowi odwrotność częstotliwości produkcji pęcherzyków, a w pracy [5] na str. 157 znajdujemy odpowiedni wzór, który po przekształceniach daje formułę

$$\frac{D_o}{\Delta t} = 0.59(gl\Delta\rho/\rho')^{1/2} = 0.3856u_o, \quad (83)$$

gdzie  $D_o$  jest średnicą pęcherzyka w warunkach oderwania. Załącznik zawiera obliczenia tej średnicy, przy czym użyta została metoda wyjaśniona w pracy [4]. Tak więc dla  $\varphi = \pi$  otrzymuje się  $D_o = 6.8mm$ , skąd  $\Delta t = 0.0824s$ .

Rozpatrzmy teraz element powierzchni położony w otoczeniu punktu  $P$ , gdzie działa zarodek, rys. 6. W okresie pracy zarodka, potrzebnym do wyprodukowania pęcherzyka o średnicy  $D \approx D_o$ , trzeba doprowadzić ciepło



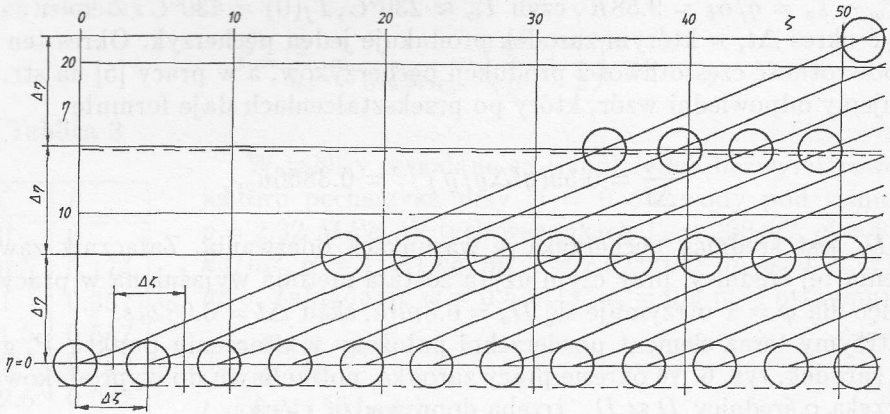
Rys. 6.

$$Q = \frac{\pi}{6} D_o^3 \cdot \rho'' \Delta h \quad (84)$$

gdzie  $\Delta h = 1.858 \cdot 10^6 J/kg$  jest entalpią parowania. Podstawiając dane liczbowe otrzymujemy  $Q = 3.551J$ . Ciepło to wynosi także

$$Q = q \cdot \Delta x \cdot \Delta z \cdot \Delta t, \quad (85)$$

czyli  $Q = 2.7695 \cdot 10^4 \Delta x \cdot \Delta z$ , skąd  $\Delta x \cdot \Delta z = 1.282 \cdot 10^{-4} m^2$ . Przyjmując mniej więcej równomierne rozmieszczenie zarodków, otrzymalibyśmy  $\Delta x = \Delta z$ , co daje  $\Delta x = \Delta z = 0.01132m$ , a we współrzędnych bezwymiarowych  $\Delta\zeta = 411.4\Delta z = 4.65$ . Tak więc, jeśli pierwsza trajektoria zaczyna się w miejscu  $\zeta = 0$ , a kształt jej wynika z tablicy 3, to następne trajektorie mają ten sam kształt i są przesunięte o  $\Delta\zeta$  względem siebie, jak to widać na rys. 7, wykonanym, co podkreślamy, dla  $\varphi = 0$ .



Rys. 7.

Wykres na rys. 7 został wykonany w skali, określonej wzorami (57). Tę samą skalę można zastosować dla współrzędnej  $x$ , a mianowicie wprowadzić bezwymiarową współrzędną

$$\xi = \frac{0.427}{l \left( \frac{\rho''}{\rho'} + \frac{1}{2} \right)} \cdot x. \quad (86)$$

Szerokość elementu w tej skali wynosi  $\Delta\xi = 4.65$ , zaś kąt  $\varepsilon$ , zaznaczony na rys.6 wynosi  $17^\circ$ .

Czas lotu pęcherzyka w kierunku  $y$ , lub  $\eta$ , wynosi  $t = 0.01136\eta$  w sekundach. Okresowi pracy  $\Delta t = 0.0824s$  odpowiada więc odcinek  $\Delta\eta = 7.25$ . Na rys.7 wykreślono linie poziome w odstępach  $\Delta\eta$ . Jeśli w pewnej chwili pęcherzyk o średnicy  $D$  właśnie się odrywa, czyli znajduje się na trajektorii w miejscu  $\eta = 0$ , to poprzednio wyprodukowane pęcherzyki znajdują się w punktach przecięcia wspomnianych linii poziomych z trajektoriami, co zaznaczono na rys.7, rysując tam kółka o średnicy pęcherzyka w odpowiedniej skali; średnice te wynoszą  $411.4 \cdot 6.8 \cdot 10^{-3} = 2.80$ .

Na tej podstawie można obliczyć stopnie zapelnienia w pierwszym przybliżeniu, co wymaga wykreślenia podobnych trajektorii dla innych miejsc obwodu. Obecnie zamierzamy wyjaśnić tylko zasadę analizy i dlatego rozpatrzmy przypadek dość szerokiego kanału płaskiego o wysokości równej średnicy wewnętrznej rury  $d = 38mm$ , co we współrzędnych bezwymiarowych daje obszar od  $\eta = -1.4$  do  $\eta = 14.23$ . W sumie ta wysokość wynosi  $411.4 \cdot 38 \cdot 10^{-3} = 15.63$ . Granice obszaru zaznaczono na rys.7 poziomymi liniami kreskowymi. W związku z tymi założeniami produkcja pęcherzyków odbywa się tylko na płaszczyźnie dolnej, a trajektorie pęcherzyków położonych w lewo i w prawo od rozpatrzonego już zarodka są odległe wzajemnie o  $\Delta\xi$ , przy czym pokrywają się. Wystarczy zatem rozpatrzeć tylko element kanału o szerokości  $\Delta\xi = 4.65$  i wysokości  $15.63$ . Wydatek masowy w obrębie paska o szerokości  $\Delta x$  wynosi  $\dot{m}_1 = \Delta x \cdot d \cdot \rho' w = 0.1774kg/s$ .

Posiłkując się wzorem (44) przystosowanym do danego przypadku otrzymujemy  $x_e = 0.01154 \cdot z$  lub  $x_e = 2.806 \cdot 10^{-5} \zeta$ . Dla długości kanału  $z = 4m$  otrzymaliśmy przykładowo  $x_e = 0.0462$ . Tak małe jakości charakterystyczne są dla ustroju pęcherzykowego. Z rys. 7 wynika, że trajektorie  $\varphi = 0$  wykraczają poza rozpatrywany obszar. Będziemy na razie traktować to w ten sposób, że górne ograniczenie określa tylko poziom cieczy, a przez tę powierzchnię pęcherzyki wydobywają się swobodnie.

W celu obliczenia stopnia zapełnienia  $\varphi$  dzielimy płaszczyznę  $\eta, \zeta$  na prostokąty o szerokości  $\Delta\zeta$  w ten sposób, że pierwszy element zawiera się od  $\zeta = -\Delta\zeta/2$  do  $\zeta = \Delta\zeta/2$ , drugi od  $\zeta = \Delta\zeta/2$  do  $\zeta = 3\Delta\zeta/2$  etc. Wysokości elementu określamy następująco: pierwsze elementy od  $\eta = -1.4$  gdzie 1.4 jest bezwymiarowym promieniem pęcherzyka do  $\eta = \Delta\eta/2$ ; drugie elementy od  $\eta = \Delta\eta/2$  do  $\eta = 3\Delta\eta/2$  etc. W ten sposób (przy  $\Delta\xi = \Delta\zeta = 4.65, \Delta\eta = 7.25$ ) objętość pierwszych elementów wynosi  $4.65 \cdot 4.65 \cdot 3.765 = 81.409$  w jednostkach bezwymiarowych; objętość drugich i dalszych elementów wynosi  $4.65 \cdot 4.65 \cdot 7.25 = 156.76$ ; objętość wszystkich elementów dla danego  $\zeta$  wynosi  $4.65 \cdot 4.65 \cdot 15.63 = 337.96$ . Objętość pęcherzyka wynosi  $\frac{\pi}{6} \cdot 2.8^3 = 11.49$  w jednostkach bezwymiarowych.

Z rys. 7 wynika, że dla pierwszych czterech elementów w zakresie  $-2.325 < \zeta < 16.275$  oraz  $-1.4 < \eta < 3.625$  w każdym elemencie jest jeden pęcherzyk, a więc  $\varphi = 11.49/81.409 = 0.141$ , zaś  $\bar{\varphi} = 11.49/337.96 = 0.034$ . Stąd wynika, że dla tego zakresu zmiennej  $\zeta$  jest wg wzoru (45)  $w' = 0.518m/s$ , a wg wzoru (54)  $u_y = 0.184$ . Następnie wg wzoru (62)  $t = y/u_o(1 - \varphi) = y/u_y$ , co daje nową wartość  $\Delta\eta = 6.23$ . Wartości  $\varphi, w', u_y$  podstawiamy do równania (58) i otrzymujemy równanie

$$-0.382 \frac{dv_z}{d\zeta} = \left(v_z^2 + 0.184^2\right)^{1/2} v_z, \quad v_z(0) = 0.118 = w_s, \quad (87)$$

przy czym

$$v_z = 0.518 - u_z. \quad (88)$$

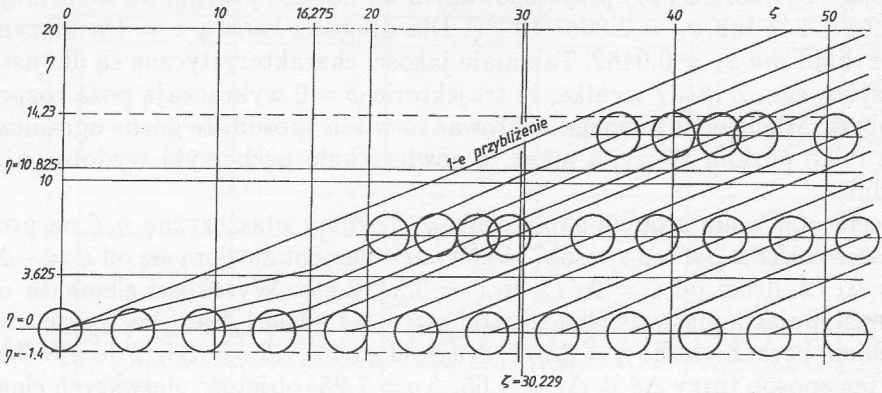
Jest to właściwie równanie (65) ze zmienionymi współczynnikami liczbowymi, a jego rozwiązaniem jest

$$0.184 + \left(v_z^2 + 0.184^2\right)^{1/2} = 3.412v_z e^{0.482\zeta}. \quad (89)$$

Postępując jak poprzednio, otrzymujemy równanie odcinka trajektorii dla  $\zeta < 16.275$

$$\eta = 0.262\zeta - 0.247 \ln \left( 2.063 \frac{e^{0.482\zeta} - 0.415}{e^{0.482\zeta} + 0.207} \right), \quad (90)$$

co zostało przedstawione na rys. 8. Dla końca odcinka, tj.  $\zeta = 16.275$  jest  $\eta = 4.085$ , a ponieważ  $\Delta\eta = 6.25$ , więc na tym odcinku trajektorii nie spotyka się pęcherzyków, które by oderwały się od powierzchni w chwili początkowej.



Rys. 8.

Na drugim odcinku trajektorii występują 2 pęcherzyki: pierwszy w zakresie  $-1.4 < \eta < 3.625$ , co daje dla tego zakresu  $\varphi = 0.141$  oraz  $u_y = 0.184$ ,  $\Delta\eta = 6.23$ , a drugi w zakresie  $3.625 < \eta < 10.825$ , co daje  $\varphi = 0.073$ ,  $u_y = 0.198$ ,  $\Delta\eta = 6.72$ . Dla całego przekroju mamy więc  $\bar{\varphi} = 0.068$ , co da  $w' = 0.536 \text{ m/s}$ . Ta wartość  $w'$  obowiązuje dla całego zakresu  $16.275 < \zeta < 30.229$ , natomiast jeśli na danej trajektorii jest  $\eta < 3.625$ , to obowiązują pierwsze wartości  $\varphi$ ,  $u_y$ ,  $\Delta\eta$ , zaś gdy  $\eta > 3.625$  - drugie wartości. W ten sposób dla pierwszej, licząc od góry, trajektorii z rys. 8, mamy  $\varphi = 0.073$ ,  $u_y = 0.198$ ,  $\Delta\eta = 6.72$ , podczas gdy dla pozostałych mamy  $\varphi = 0.141$ ,  $u_y = 0.184$ ,  $\Delta\eta = 6.23$ . Założenia te pozwalają na wykreślenie następných odcinków trajektorii, co pokazano na rys. 8.

W obliczeniach zastosowano ogólne wzory:

$$u_z = (1 - \varphi)^2 w' \left[ 1 + \gamma \cdot \frac{2C_o e^{\gamma\zeta}}{C_o^2 e^{\gamma\zeta} - 1} \right], \quad (91)$$

gdzie

$$\gamma = \frac{u_y}{w'(1 - \varphi)^2} = \frac{u_o}{w'(1 - \varphi)}, \quad (92)$$

$$C_o = e^{-\gamma\zeta_o} \left[ \frac{\gamma}{1 - \frac{u_z(\zeta_o)}{w'(1 - \varphi)^2}} + \sqrt{1 + \left( \frac{\gamma}{1 - \frac{u_z(\zeta_o)}{w'(1 - \varphi)^2}} \right)^2} \right], \quad (93)$$

przy czym  $u_z(\zeta_o)$  jest wartością początkową dla początku nowego odcinka  $\zeta = \zeta_o$ ;

$$\eta = \eta(\zeta_o) + \gamma(\zeta - \zeta_o) - \frac{\gamma}{\sqrt{1 + \gamma^2}} *$$

$$* \ln \left( \frac{C_o e^{\gamma\zeta} - \gamma - \sqrt{1 + \gamma^2}}{C_o e^{\gamma\zeta_o} - \gamma - \sqrt{1 + \gamma^2}} \cdot \frac{C_o e^{\gamma\zeta_o} - \gamma + \sqrt{1 + \gamma^2}}{C_o e^{\gamma\zeta} - \gamma + \sqrt{1 + \gamma^2}} \right). \quad (94)$$

W pierwszym przybliżeniu (vide rys. 7) pęcherzyki znajdowały się na przecięciu trajektorii i linii poziomych  $\eta = \Delta\eta, \eta = 2\Delta\eta$  itd., gdzie  $\Delta\eta = 7.25$  wynikało z okresu pracy pęcherzyków  $\Delta t = 0.0824s$ . W drugim przybliżeniu położenia pęcherzyków oblicza się w sposób następujący. Ze wzoru (62) mamy

$$t = \int_0^y \frac{dy}{u_y} = \frac{1}{411.4} \cdot \int_0^\eta \frac{d\eta}{u_y}. \quad (95)$$

Na odcinku początkowym jest  $u_y = 0.184$ , a więc  $t = \frac{\eta}{411.4 \cdot 0.184}$ , przy czym koniec tego odcinka wypada dla  $\eta = 3.625$ . Stąd  $t = 0.0479s$ , i po tym czasie pęcherzyk przekroczy granicę  $\eta = 3.625$ . Jak widać, aby na zarodku powstał nowy pęcherzyk w stanie oderwania, musi upłynąć jeszcze czas  $0.0824 - 0.0479 = 0.0345s$ . W tm czasie pęcherzyk porusza się w obszarze, gdzie  $u_y = 0.198$ , a w czasie  $0.0345s$  przebędzie drogę, równą  $414.4 \cdot 0.198 \cdot 0.0345 = 2.81$ . W sumie mamy  $\Delta\eta = 2.81 + 3.625 = 6.44$ . Na tej linii znajdują się wszystkie pęcherzyki, które w chwili  $t = 0$  znajdowały się na ścianie,  $\eta = 0$ . Na tej zasadzie wykreślono na rys. 8 położenia pęcherzyków, przy czym ich nakładanie się wskazuje na możliwość koalescencji, a więc zjawiska, które nie zmienia objętości pary. Możliwe jest, ogólnie rzecz biorąc, także zjawisko rozpadu pęcherzyków na drobniejsze, ale i to nie zmienia objętości pary.

Pewien niepokój może budzić ułożenie pęcherzyków na tych samych poziomach. Wynika to z założonego modelu pierwszego przybliżenia (vide rys.7), gdzie dla ułatwienia dość żmudnych obliczeń rozpoznawczych przyjęto, że wszystkie pęcherzyki startują w tej samej chwili. W rzeczywistości porządek startu pęcherzyków, choćby o tej samej średnicy i tym samym okresie pracy zarodka, jest statystycznie dowolny. A więc, jeśli na pierwszym zarodku  $\eta = 0, \zeta = 0$  jest odrywający się właśnie pęcherzyk, to pęcherzyki, które wystartowały z innych zarodków, mogą się znajdować na swoich trajektoriach w miejscach  $\eta = \varepsilon\Delta\eta$ , gdzie  $0 \leq \varepsilon < 1$ . Liczby  $\varepsilon$  tworzą pewną statystykę. Aby to zilustrować, ograniczyliśmy ilość tych liczb do dziesięciu, czyli  $\varepsilon = 0; 0.1; 0.2$  etc., oraz wykonaliśmy losowanie za pomocą dziesięciu kart. Wynikające stąd pierwsze przybliżenie przedstawione jest na rys. 9.

Aby uzyskać ostateczne wartości dla poszukiwanych wielkości  $w'$  i  $\bar{\varphi}$ , należy powtórzyć wielokrotnie procedurę wychodząc z takiego, czy innego pierwszego przybliżenia.

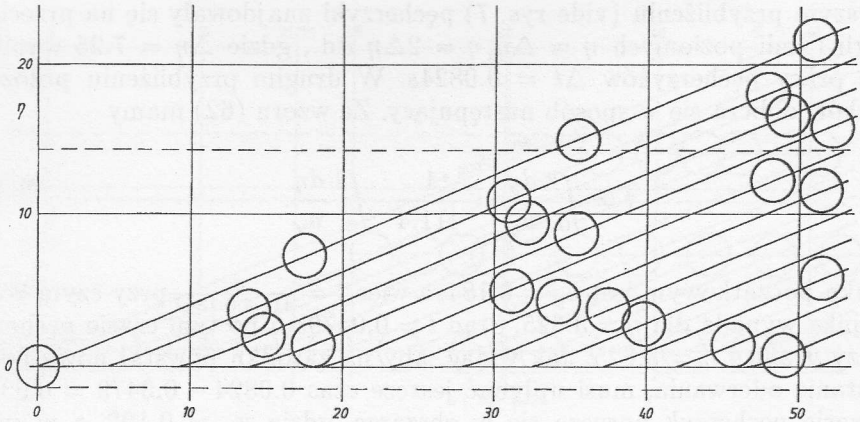
Założmy, że wystarczającą dokładność uzyskaliśmy już w drugim przybliżeniu, jak wyżej, tzn.:

w zakresie	$0 < \zeta < 16.275$	jest	$w' = 0.518m/s, \bar{\varphi} = 0.034;$
w zakresie	$16.275 < \zeta < 30.229$	jest	$w' = 0.536m/s, \bar{\varphi} = 0.068;$
w zakresie	$30.229 < \zeta < 50$	jest	$w' = 0.543m/s, \bar{\varphi} = 0.080.$

Wtenczas średni objętościowy stopień zapełnienia wynosi:

$$\bar{\varphi} = \frac{1}{50}[0.034 \cdot 16.275 + 0.068(30.229 - 16.275) + 0.080(50 - 30.229)] = 0.0617.$$

Dotyczy to odcinka kanału o długości  $z = 50/411.4 = 0.122 m$ .



Rys. 9.

Spadek ciśnienia na tej długości obliczymy ze wzoru (40). Oznaczając

$$\Delta p_o = 0.092 \left( \frac{wd \cdot \rho'}{\mu'} \right)^{-0.2} \cdot \frac{\rho' w^2}{d} \cdot z, \quad (96)$$

mamy

$$\frac{\Delta p}{\Delta p_o} = \frac{1}{z} \int_0^z \left( \frac{w'}{w} \right)^{1.8} dz = \frac{1}{\zeta} \int_0^\zeta \left( \frac{w'}{w} \right)^{1.8} d\zeta, \quad (97)$$

przy czym  $\zeta = 50$  oraz

$$\int_0^\zeta \left( \frac{w'}{w} \right)^{1.8} d\zeta = 16.275 \cdot \left( \frac{0.518}{0.5} \right)^{1.8} + (30.229 - 16.275) \left( \frac{0.536}{0.5} \right)^{1.8} + \\ (50 - 30.229) \left( \frac{0.543}{0.5} \right)^{1.8} = 56.095,$$

co daje  $\Delta p / \Delta p_o = 1.122$ .

Podkreślamy, że jest to rozwiązanie przykładowe, mające na celu wyjaśnienie metody. Zastosowanie jej dla rozwiązania problemu tytułowego wymaga uprzedniego omówienia modelu przepływu, wyobrażonego na rys. 5.

## 5. Charakterystyka przepływu rozwarstwowanego w okrągłej rurze poziomej

Model przepływu 2-fazowego, przedstawiony na rys. 5, był użyty w pracy [3] w związku z wymianą ciepła. Opiera się on na następujących przesłankach. Jak podano w załączniku dla  $\psi = 0$  tj. na górze rury, pęcherzyki nie mogą się oderwać, co powoduje powstanie obszaru pary. Nadto przez powierzchnię cieczy



przedostają się do tego obszaru pęcherzyki z cieczy pęcherzykowej, zabierając ze sobą kropelki cieczy w zjawisku sputteringu (tj. plucia, lub bardziej elegancko: wyrzutu kropelek). Sprawa ta była analizowana w pracy [6]. Te kropelki zasilają film o grubości  $\delta(\psi)$  (vide rys. 5). Jest to główne źródło zasilania filmu, które jest kompensowane przez ściek filmu do cieczy pęcherzykowej.

Oprócz tego na całej powierzchni cieczy, otaczającej górny obszar pary, mamy do czynienia z porywaniem (entrainment) i osiadaniem (deposition) drobnitkich kropelek, unoszonych przez parę. Te dwa procesy powinny się kompensować, dając w miarę stabilną koncentrację kropelek w obszarze mgły.

Mamy więc do czynienia z rozwarstwieniem na obszar mgły i obszar cieczy pęcherzykowej, przy czym spadek ciśnienia obliczamy dla tego drugiego obszaru, pamiętając że w pierwszym obszarze spadek ciśnienia jest taki sam; wpływa on m.in. na grubość filmu.

Granica między mgłą a cieczą pęcherzykową nie może być gładka, gdyż przedostają się przez nią pęcherzyki i kropelki. Średni poziom tej granicy,  $H$ , wiąże się z kątem  $\psi_H$  (vide rys. 5) następującym wzorem

$$H = \frac{d}{2}(1 + \cos\psi_H), \quad (98)$$

zaś kąt  $\psi_H$  oblicza się z równania (vide [3])

$$\frac{\pi}{\psi_H - \sin\psi_H \cdot \cos\psi_H} - 1 = \left(\frac{\rho'' + C_D}{\rho'}\right) \cdot \left(\frac{\rho''}{(\rho'' + C_D) \cdot X_e} - 1\right) \left[1 + \left(\frac{\rho'}{\rho'' + C_D}\right)^{1/2} \cdot \left(\frac{\rho''}{(\rho'' + C_D) X_e} - 1\right)^{-1/8} \cdot \left(\frac{\mu'}{\mu''}\right)^{1/8} \left(\frac{\pi - \psi_H + \sin\psi_H}{\psi_H + \sin\psi_H}\right)^{1/8}\right], \quad (99)$$

gdzie  $\mu'$  i  $\mu''$  są dynamicznymi współczynnikami lepkości cieczy i pary,  $C_D$  jest koncentracją kropelek we mgle, obliczaną ze wzoru

$$C_D = 4.634 \cdot 10^{-2} \rho'' / \sqrt{f_d}, \quad (100)$$

gdzie

$$f_d = 0.079 Re_d^{-1/4}, \quad Re_d = \frac{4\dot{m}_d}{\mu''(\psi_H + \sin\psi_H)d}, \quad (101)$$

zaś  $\dot{m}_d$  jest wydatkiem masowym w obszarze mgły. Ponadto  $X_e$  jest średnią jakością dla całego przekroju rury, obliczaną ze wzoru

$$X_e = \frac{z}{\dot{M}\Delta h} \cdot \int_0^\pi q(\psi)d\psi, \quad (102)$$

który jest właściwie wzorem (44) z tym, że  $x_e$  dotyczyło obszaru cieczy pęcherzykowej, zaś  $X_e$  dotyczy obu rozważanych obszarów, w związku z czym  $\dot{M}$  jest całkowitym wydatkiem masowym. Mamy więc

$$\dot{M} = \frac{\pi}{4} d^2 \cdot w \cdot \rho', \quad \dot{m}_d = \dot{M} - \dot{m}, \quad (103)$$

gdzie  $\dot{m}$  jest wydatkiem masowym cieczy pęcherzykowej. Oczywiście na wstępnym odcinku wrzenia  $\dot{M} = \dot{m}$ . Ze wzrostem współrzędnej  $z$  jakość  $X_e$  rośnie, więc  $H$  maleje, a  $\psi_H$  wzrasta.

Znając kąt  $\psi_H$  możemy wyznaczyć pola przekrojów przepływu. Mgła płynie przez przekrój

$$A_d = \frac{d^2}{4}(\psi_H - \sin\psi_H \cdot \cos\psi_H), \quad (104)$$

a ciecz pęcherzykowa przez przekrój

$$A = \frac{d^2}{4}(\pi - \psi_H + \sin\psi_H \cdot \cos\psi_H). \quad (105)$$

Wydatki wynoszą

$$\dot{m}_d = A_d \cdot (\varrho'' + C_D) \cdot w_d, \quad (106)$$

gdzie  $w_d$  jest prędkością mgły, przy czym przyjęto, że poślizg w tym obszarze  $S_d = 1$ , oraz

$$\dot{m} = A[(1 - \bar{\varphi})\varrho'w' + \bar{\varphi}\varrho''w''] \quad (107)$$

w cieczy pęcherzykowej, przy czym sposób obliczania wielkości  $\bar{\varphi}$  i  $w'$  był już podany, zaś  $w''$  jest średnią prędkością pary w kierunku  $z$ . Z poprzednich rozważań wynika, że

$$w'' = \bar{u}_z = \frac{1}{A} \int_A u_z dA. \quad (108)$$

W ten sposób podana w rozdziale 3-cim procedura pozwala obliczyć wszystkie wielkości, które występują we wzorze (107), co umożliwi obliczenie wydatku  $\dot{m}_d$  etc. Zastosowanie dla rury okrągłej zostanie opisane w następnym rozdziale.

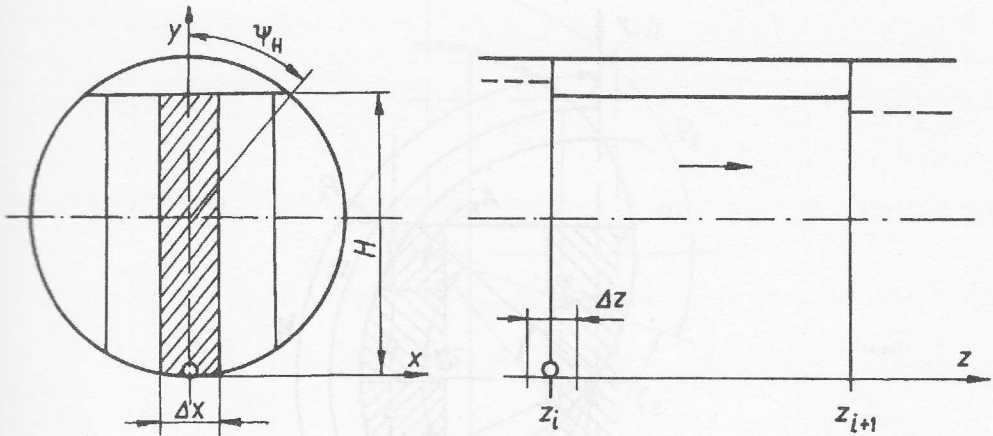
Nadmienimy, że wzór (108) umożliwia wyznaczenie poślizgu w cieczy pęcherzykowej, który jest określony wzorem

$$S = w''/w' \quad (109).$$

## 6. Procedura obliczeniowa dla rury okrągłej

Na rys. 10 przedstawione są przekroje odcinka rury, znajdującego się dość blisko strefy początku wrzenia.

Przekrój poprzeczny jest podzielony na paski, przy czym pasek środkowy (zakreskowany) jest oznaczony tak, jak na rys. 6; był on rozpatrywany w rozdziale 3-cim. Pozostałe paski są zwymiarowane na rys. 11. Oprócz paska środkowego będzie pewna liczba pasków wewnętrznych (na rys. 11 po jednym z każdej strony paska środkowego) oraz dwa paski skrajne.



Rys. 10.

Rozpatrzmy najpierw paski wewnętrzne. Przypada na taki pasek odcinek obwodu  $\varepsilon_1 d$ , oraz element powierzchni o polu  $\varepsilon_1 d \cdot \Delta z_1$ , przy czym średni strumień ciepły dla tego paska wynosi

$$\bar{q}_1 = \frac{1}{2\varepsilon_1} \int_{\psi_1 - \varepsilon_1}^{\psi_1 + \varepsilon_1} q(\psi) d(\psi). \quad (110)$$

Współrzędne środka startującego pęcherzyka o średnicy  $D_1$  są:

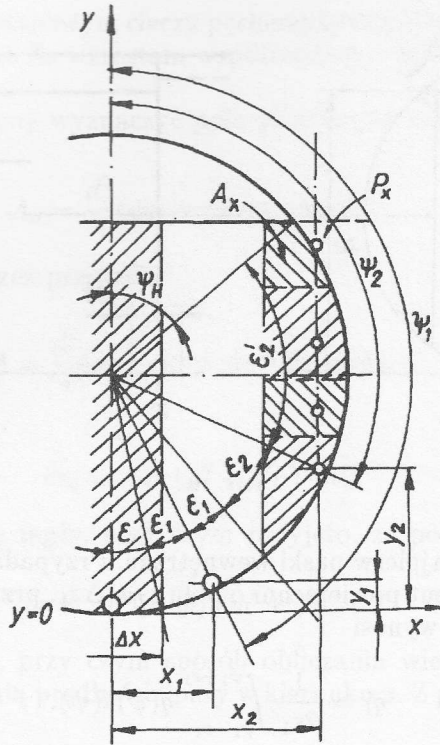
$$x_1 = \frac{1}{2}(d - D_1) \cdot \sin(\pi - \psi_1), \quad (111)$$

$$y_1 = \frac{d}{2} - \frac{1}{2}(d - D_1) \cos(\pi - \psi_1). \quad (112)$$

W przypadku pasków wewnętrznych trajektorie pęcherzyków będą z dużym prawdopodobieństwem leżały w płaszczyznach równoległych do płaszczyzny  $y, z$ . Inaczej będzie w paskach skrajnych, które są niesymetryczne w tym sensie, że  $\varepsilon_2 \neq \varepsilon_2'$ . Wynika to z tego, że kąt  $\psi_2$  musi być większy od  $\pi/2$ , aby pęcherzyki mogły wejść w obszar cieczy. Wprawdzie na pęcherzyki działają siły Magnusa, odsuwające startujący pęcherzyk od ścianki, skutkiem czego pęcherzyk w ruchu do góry znajdzie się bliżej osi paska, ale tor jego na samej górze znowu ulegnie odchyleniu. Jednak w zasadzie jest to obojętne w toku obliczeń, choćby nawet płaszczyzna trajektorii wyszła poza ściankę rury, jak to pokazano na rys. 11, albowiem stopień wypełnienia w obszarze o polu  $A_x$  (vide rys. 11) oblicza się na podstawie objętości pęcherzyka  $P_x$ , choć znajduje się on poza wnętrzem rury.

Średni strumień ciepły w pasku skrajnym na odcinku obwodu  $\frac{1}{2}d \cdot (\psi_2 + \varepsilon_2 - \psi_H)$  wynosi

$$\bar{q}_2 = \frac{1}{\psi_2 + \varepsilon_2 - \psi_H} \int_{\psi_H}^{\psi_2 + \varepsilon_2} q(\psi) d(\psi), \quad (113)$$



Rys. 11.

zaś współrzędne środka startującego pęcherzyka o średnicy  $D_2$  są

$$x_2 = \frac{1}{2}(d - D_2)\sin(\pi - \psi_2), \quad (114)$$

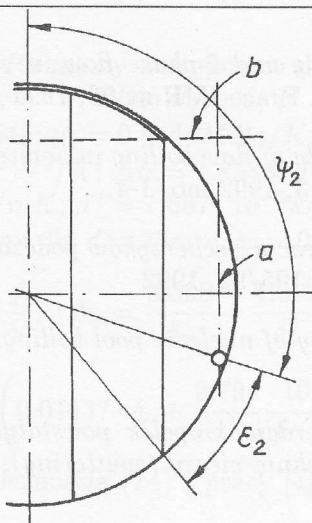
$$y_2 = \frac{d}{2} - \frac{1}{2}(d - D_2)\cos(\pi - \psi_2). \quad (114)$$

Dodamy, że w każdym przypadku długość odcinka  $\Delta z_i$ , przypadającego na 1 pęcherzyk oblicza się z bilansu

$$\Delta z_i = \frac{\pi}{3} \cdot \frac{D_i^3 \rho'' \Delta h}{\bar{q}_i (\varepsilon_i + \varepsilon'_i) \Delta t_i d}, \quad (116)$$

przy czym dla pasków wewnętrznych można przyjmować  $\varepsilon'_i = \varepsilon_i$ . Średnice pęcherzyka i okresy pracy zarodka zależą od kąta  $\psi$  i od prędkości cieczy  $w'$ . Sposób obliczenia podany jest w załączniku.

Oddzielnego omówienia wymaga wstępny odcinek rury, który był analizowany w rozdziale 3-cim. Przed tym odcinkiem mamy przepływ 1-fazowy ze średnią prędkością  $w$  oraz  $\dot{m} = \dot{M}$  tak, że ciecz wypełnia cały przekrój rury (vide rys. 12).



Rys. 12.

Paski wewnętrzne, w tym pasek środkowy, analizuje się tak, że ich ograniczenie górne, zaznaczone podwójną kreską, przepuszcza pęcherzyki pary, wobec czego strumień ciepły na tej części powierzchni nie jest doprowadzany do cieczy pęcherzykowej w obrębie pasm wewnętrznych. Gdy poziom  $H$  osiągnie linię kreskowaną  $b$ , zaznaczoną na rys. 12, to wzmiankowany strumień ciepły będzie doprowadzany do mgły. Obecnie, dla  $H = d$ , ten prąd ciepły musi być doprowadzany poprzez ściankę rury do paska skrajnego, dla którego w tym przypadku będzie

$$\bar{q}_2 = \frac{1}{(\psi_2 + \varepsilon_2) - \pi} \int_0^{\psi_2 + \varepsilon_2} q(\psi) d\psi. \quad (117)$$

Pęcherzyki, ulatujące przez granicę górną obszaru cieczy pęcherzykowej, powodują ubytki wydatku. A więc, gdy na końcu odcinka obliczymy  $\bar{\varphi}$ ,  $w'$  i  $w''$ , to stosując wzory (107) i (103) oraz procedurę, podaną w poprzednim rozdziale, możemy obliczyć poziom  $H$  dla następnego odcinka rury, gdzie należy obliczyć trajektorie pęcherzyków przyjmując, jako dane początkowe, wartości końcowe z poprzedniego odcinka.

Pracę zgłoszono 1994.05.15

### Literatura

- [1] W.K. Kays i A.Z. London, Compact heat exchangers, 2nd ed., McGraw-Hill, Inc., 1964, New York

- [2] J. Madejski, *Boiling and 2-phase flow in vertical tubes of evaporators with natural circulation*, Prace IMP nr 96, 1994
- [3] J. Madejski, *A study of flow boiling in horizontal channels*, *Archives of Thermodynamics*, vol. 13, 1992, no. 1-4.
- [4] J. Madejski, *Generacja pęcherzyków podczas wrzenia w przepływie*, Raport IMP PAN nr arch. 195/92, 1992
- [5] J. Madejski, *Theory of nucleate pool boiling*, *Int. J. Heat Mass Transfer*, vol. 8, 1965, p.155
- [6] J. Madejski, *Generacja kropelek powstałych wskutek przepływu pęcherzyków przez powierzchnię cieczy (sputtering)*, *Zeszyty Naukowe IMP PAN*, nr 394/1328/93, 1993
- [7] J. Madejski, *Koalescencja pęcherzyków we wrzących systemach dwufazowych*, *Zeszyty Naukowe IMP PAN*, nr 383/1336/93, 1993.

## Pressure drop in two-phase flow through horizontal finned tubes

### Summary

Title problem has been solved with help of calculated circumferential heat flux distribution, and calculated spacial distributions of the void fraction and velocity. A numerical method to find the latter has been elaborated; its application has been presented on the example of a wide flat channel.

### Załącznik

W celu wyznaczenia średnicy pęcherzyka  $D$  w chwili odlotu opieramy się na wynikach pracy [4], z której wynika, że ta średnica równa się praktycznie średnicy  $D_o$  w chwili oderwania. Rozpatrujemy przepływ turbulentny w rurach poziomych w przypadku, gdy rosnący pęcherzyk wychodzi poza warstwę przyścienną. Stosujemy wzory (25a), (26a) i (22a) z pracy [4], a mianowicie

$$P_o = 0.45f \cdot \frac{\rho' w^2}{g \Delta \rho \cdot l} \cdot \frac{1}{\delta_o}, \quad \delta_o = D_o/l; \quad (Z.1)$$

$$N_o = \frac{9}{32} \cdot \frac{\rho' w^2}{g \Delta \rho \cdot l} \cdot \frac{1}{\delta_o} + \frac{C_\beta^2}{\delta_o^2}; \quad (Z.2)$$

$$\frac{1}{\sqrt{f}} = -4 \log_{10} \left( \frac{l}{3.7d} \cdot \delta_o + \frac{1.255}{(w \rho' d / \mu') \sqrt{f}} \right). \quad (Z.3)$$

Dla wody pod ciśnieniem  $2.32\text{MPa}$  mamy następujące dane:  $T_s = 220^\circ\text{C}$ ;  $\rho' = 840.34\text{kg/m}^3$ ,  $c'_p = 4614\text{J/kgK}$ ;  $\lambda' = 0.645\text{W/mK}$ ;  $\mu' = 1.246 \cdot 10^{-4}\text{kg/ms}$ ;  $Pr' = 0.891$ ;  $\beta = 50^\circ\text{C}$ ;  $C_\beta = 1.045$ ;  $p'_s = 0.0444\text{MPa/K}$ ;  $\sigma = 0.03316\text{N/m}$ ;  $l = 2.020 \cdot 10^{-3}\text{m}$ ;  $C_1 = 6.474(\text{W/m}^2)^{1/3}/\text{K}$ ;  $\Delta h = 1.858\text{MJ/kg}$ ;  $\rho'' = 11.61\text{kg/m}^3$ ;  $c''_p = 3408\text{J/kgK}$ ;  $\lambda'' = 0.0390\text{W/mK}$ ;  $\mu'' = 1.687 \cdot 10^{-5}\text{kg/ms}$ ;  $Pr'' = 1.47$ .

Podstawiając te dane otrzymujemy dla  $d = 38\text{mm}$ ,  $w = 0.5\text{m/s}$ .

$$P_o = 5.7563 \frac{f}{\delta_o}, \quad N_o = \frac{3.598}{\delta_o} + \frac{1.092}{\delta_o^2},$$

$$\frac{1}{\sqrt{f}} = -4 \log_{10} \left( 0.01437 \cdot \delta_o + \frac{9.794 \cdot 10^{-6}}{\sqrt{f}} \right). \quad (\text{Z.4})$$

Wielkości  $P_o$  i  $N_o$  związane są zależnością (24) z pracy [4], tj.

$$\frac{3}{C_\beta^2} [(k_z + P_o)^2 + k_x^2]^{1/2} + k_y = N_o. \quad (\text{Z.4})$$

W rozpatrywanym przypadku okrągłej rury poziomej mamy  $k_x = \sin(\pi - \psi)$ ,  $k_y = \cos(\pi - \psi)$ ,  $k_z = 0$ , co daje po podstawieniu danych liczbowych

$$P_o = \sqrt{\left( \frac{N_o - \cos(\pi - \psi)}{2.7472} \right)^2 - \sin^2(\pi - \psi)},$$

tzn.

$$P_o = 5.7563 \frac{f}{\delta_o} = \sqrt{\left\{ \frac{1}{2.7472} \left[ \frac{3.598}{\delta_o} + \frac{1.092}{\delta_o^2} - \cos(\pi - \psi) \right] \right\}^2 - \sin^2(\pi - \psi)}, \quad (\text{Z.6})$$

skąd

$$f = \frac{\delta_o}{5.7563} \sqrt{\left\{ \frac{1}{2.7472} \left[ \frac{3.598}{\delta_o} + \frac{1.092}{\delta_o^2} - \cos(\pi - \psi) \right] \right\}^2 - \sin^2(\pi - \psi)}. \quad (\text{Z.7})$$

Składną obowiązuje (Z.4), więc z tych dwóch równań można obliczyć  $f$  oraz  $\delta_o$  dla danego kąta  $\psi$ . Procedura obliczeniowa, która okazała się skuteczna, polega na podstawieniu przewidywanej wartości  $\delta_o$  do wzoru (Z.7) i obliczenie stąd wielkości  $f$ , którą podstawia się wraz z założonym  $\delta_o$  po prawej stronie równania (Z.4). Otrzymuje się inną wartość  $f$ , powiedzmy  $f_1$ . Jeśli  $f_1 > f$ , to  $\delta_o$  należy zwiększyć, a w przeciwnym przypadku zmniejszyć. Tablica 4 zawiera wyniki obliczeń.

Jak wspomniano, średnica pęcherzyka w okresie od chwili oderwania do chwili odlotu niewiele wzrasta. Te chwile dzieli okres ślizgania się pęcherzyka po ścianie rury, przy czym drogę oblicza się ze wzoru (64) pracy [4], tj.

$$L = \int \frac{1}{2} \omega D dt, \quad (\text{Z.8})$$

Tablica 4  
Wyniki obliczeń dla wody 2.32MPa

$\psi, rd.$	0	$\pi/4$	$\pi/2$	$3\pi/4$	$\pi$
$f$	-	0.0203	0.0254	0.0239	0.0361
$\delta_o$	$\infty$	3.224	1.559	1.606	3.353
$D \approx D_o, mm$	$\infty$	6.5	3.1	3.2	6.8
$\Delta t, s$	$\infty$	0.0788	0.0376	0.0388	0.0824

gdzie  $\omega$  jest prędkością kątową obrotu pęcherzyka, którą można obliczyć sposobem opisanym w [4]. Z (Z.8) mamy

$$\frac{dL}{dt} = \frac{1}{2}\omega D = u_s. \quad (Z.9)$$

W przykładzie, rozpatrzonym w rozdziale 3-cim podstawiono  $\omega = 118s^{-1}$ , co przy  $D = 6.8 \cdot 10^{-3}m$  dało  $u_s = 0.40m/s$ . W tablicy 4 znajdują się również wartości okresu pracy zarodka  $\Delta t$ , obliczone ze wzoru (83) niniejszej pracy dla  $u_o = 0.214m/s$ .